

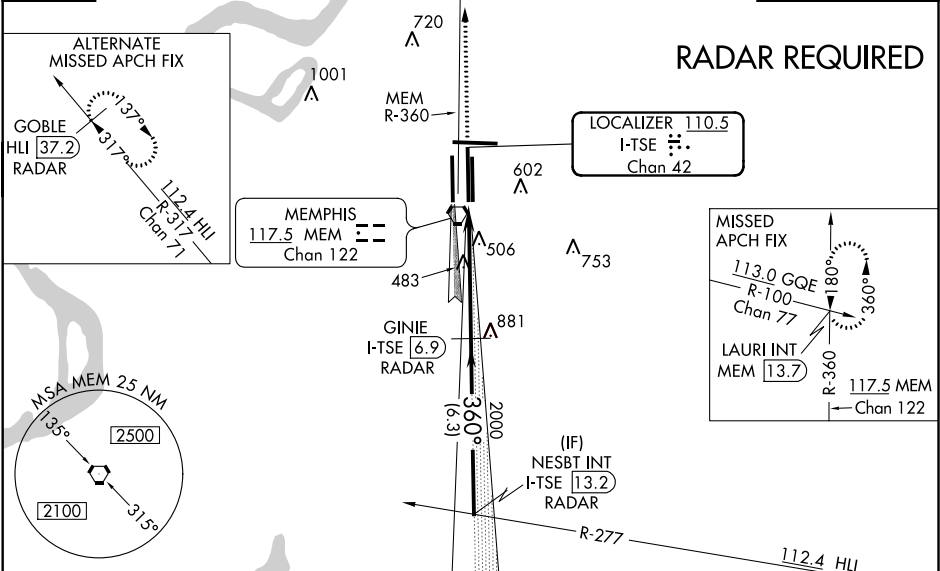
LOC/DME I-TSE	APP CRS	Rwy Idg	10715
110.5	360°	TDZE	341
Chan 42		Apt Elev	341

ILS or LOC RWY 36C
MEMPHIS INTL (MEM)

<p>▼ For inoperative ALS, increase S-ILS 36C Cat E visibility to RVR 4000 and S-LOC 36C Cat C/D/E visibility to RVR 6000. DME or RADAR required. Simultaneous approach authorized with Rwy 36L.</p>	<p>ALSF-2</p>	<p>MISSED APPROACH: Climb to 3000 via MEM VORTAC R-360 to LAURI INT/MEM 13.7 DME and hold.</p>
--	---------------	--

MEMPHIS APP CON	MEMPHIS TOWER	GND CON
119.1 291.6 (176°-355°)	(Rwy 9-27) 118.3 257.8	(Rwy 9-27) 121.0 379.2
125.8 338.3 (356°-175°)	(Rwys 18C-36C, 18L-36R) 119.7 257.8	(Rwys 18C-36C, 18L-36R) 121.9 379.2
	(Rwy 18R-36L) 128.425 257.8	(Rwy 18R-36L) 121.65 379.2

D-ATIS	CLNC DEL	CPDLC
127.75	125.2	



ELEV 341	TDZE 341
<p>360° 5 NM from FAF</p>	
FAF to MAP 5 NM	
Knots	60 90 120 150 180
Min:Sec	5:00 3:20 2:30 2:00 1:40

<div>Chan 71</div> <div><div><div>3000</div><div>↑</div><div>MEM R-360</div></div><div><div>LAURI INT</div><div>VGSI and ILS glidepath not coincident (VGSI Angle 3.00/TCH 71).</div></div><div><div><div>180°</div><div>↓</div></div><div><div>GINIE</div><div>I-TSE 6.9</div><div>RADAR</div></div><div><div>NESBT INT</div><div>I-TSE 13.2</div><div>RADAR</div></div></div></div>					
<div><div><div>3000</div><div>↑</div><div>MEM R-360</div></div><div><div>LAURI INT</div><div>VGSI and ILS glidepath not coincident (VGSI Angle 3.00/TCH 71).</div></div><div><div><div>180°</div><div>↓</div></div><div><div>GINIE</div><div>I-TSE 6.9</div><div>RADAR</div></div><div><div>NESBT INT</div><div>I-TSE 13.2</div><div>RADAR</div></div></div><div><div><div>3000</div><div>↑</div><div>MEM R-360</div></div><div><div>LAURI INT</div><div>VGSI and ILS glidepath not coincident (VGSI Angle 3.00/TCH 71).</div></div><div><div><div>180°</div><div>↓</div></div><div><div>GINIE</div><div>I-TSE 6.9</div><div>RADAR</div></div><div><div>NESBT INT</div><div>I-TSE 13.2</div><div>RADAR</div></div></div><div><div><div>3000</div><div>↑</div><div>MEM R-360</div></div><div><div>LAURI INT</div><div>VGSI and ILS glidepath not coincident (VGSI Angle 3.00/TCH 71).</div></div><div><div><div>180°</div><div>↓</div></div><div><div>GINIE</div><div>I-TSE 6.9</div><div>RADAR</div></div><div><div>NESBT INT</div><div>I-TSE 13.2</div><div>RADAR</div></div></div><div><div><div>3000</div><div>↑</div><div>MEM R-360</div></div><div><div>LAURI INT</div><div>VGSI and ILS glidepath not coincident (VGSI Angle 3.00/TCH 71).</div></div><div><div><div>180°</div><div>↓</div></div><div><div>GINIE</div><div>I-TSE 6.9</div><div>RADAR</div></div><div><div>NESBT INT</div><div>I-TSE 13.2</div><div>RADAR</div></div></div><div><div><div>3000</div><div>↑</div><div>MEM R-360</div></div><div><div>LAURI INT</div><div>VGSI and ILS glidepath not coincident (VGSI Angle 3.00/TCH 71).</div></div><div><div><div>180°</div><div>↓</div></div><div><div>GINIE</div><div>I-TSE 6.9</div><div>RADAR</div></div><div><div>NESBT INT</div><div>I-TSE 13.2</div><div>RADAR</div></div></div><div><div><div>3000</div><div>↑</div><div>MEM R-360</div></div><div><div>LAURI INT</div><div>VGSI and ILS glidepath not coincident (VGSI Angle 3.00/TCH 71).</div></div><div><div><div>180°</div><div>↓</div></div><div><div>GINIE</div><div>I-TSE 6.9</div><div>RADAR</div></div><div><div>NESBT INT</div><div>I-TSE 13.2</div><div>RADAR</div></div></div><div><div><div>3000</div><div>↑</div><div>MEM R-360</div></div><div><div>LAURI INT</div><div>VGSI and ILS glidepath not coincident (VGSI Angle 3.00/TCH 71).</div></div><div><div><div>180°</div><div>↓</div></div><div><div>GINIE</div><div>I-TSE 6.9</div><div>RADAR</div></div><div><div>NESBT INT</div><div>I-TSE 13.2</div><div>RADAR</div></div></div><div><div><div>3000</div><div>↑</div><div>MEM R-360</div></div><div><div>LAURI INT</div><div>VGSI and ILS glidepath not coincident (VGSI Angle 3.00/TCH 71).</div></div><div><div><div>180°</div><div>↓</div></div><div><div>GINIE</div><div>I-TSE 6.9</div><div>RADAR</div></div><div><div>NESBT INT</div><div>I-TSE 13.2</div><div>RADAR</div></div></div><div><div><div>3000</div><div>↑</div><div>MEM R-360</div></div><div><div>LAURI INT</div><div>VGSI and ILS glidepath not coincident (VGSI Angle 3.00/TCH 71).</div></div><div><div><div>180°</div><div>↓</div></div><div><div>GINIE</div><div>I-TSE 6.9</div><div>RADAR</div></div><div><div>NESBT INT</div><div>I-TSE 13.2</div><div>RADAR</div></div></div><div><div><div>3000</div><div>↑</div><div>MEM R-360</div></div><div><div>LAURI INT</div><div>VGSI and ILS glidepath not coincident (VGSI Angle 3.00/TCH 71).</div></div><div><div><div>180°</div><div>↓</div></div><div><div>GINIE</div><div>I-TSE 6.9</div><div>RADAR</div></div><div><div>NESBT INT</div><div>I-TSE 13.2</div><div>RADAR</div></div></div><div><div><div>3000</div><div>↑</div><div>MEM R-360</div></div><div><div>LAURI INT</div><div>VGSI and ILS glidepath not coincident (VGSI Angle 3.00/TCH 71).</div></div><div><div><div>180°</div><div>↓</div></div><div><div>GINIE</div><div>I-TSE 6.9</div><div>RADAR</div></div><div><div>NESBT INT</div><div>I-TSE 13.2</div><div>RADAR</div></div></div><div><div><div>3000</div><div>↑</div><div>MEM R-360</div></div><div><div>LAURI INT</div><div>VGSI and ILS glidepath not coincident (VGSI Angle 3.00/TCH 71).</div></div><div><div><div>180°</div><div>↓</div></div><div><div>GINIE</div><div>I-TSE 6.9</div><div>RADAR</div></div><div><div>NESBT INT</div><div>I-TSE 13.2</div><div>RADAR</div></div></div><div><div><div>3000</div><div>↑</div><div>MEM R-360</div></div><div><div>LAURI INT</div><div>VGSI and ILS glidepath not coincident (VGSI Angle 3.00/TCH 71).</div></div><div><div><div>180°</div><div>↓</div></div><div><div>GINIE</div><div>I-TSE 6.9</div><div>RADAR</div></div><div><div>NESBT INT</div><div>I-TSE 13.2</div><div>RADAR</div></div></div><div><div><div>3000</div><div>↑</div><div>MEM R-360</div></div><div><div>LAURI INT</div><div>VGSI and ILS glidepath not coincident (VGSI Angle 3.00/TCH 71).</div></div><div><div><div>180°</div><div>↓</div></div><div><div>GINIE</div><div>I-TSE 6.9</div><div>RADAR</div></div><div><div>NESBT INT</div><div>I-TSE 13.2</div><div>RADAR</div></div></div><div><div><div>3000</div><div>↑</div><div>MEM R-360</div></div><div><div>LAURI INT</div><div>VGSI and ILS glidepath not coincident (VGSI Angle 3.00/TCH 71).</div></div><div><div><div>180°</div><div>↓</div></div><div><div>GINIE</div><div>I-TSE 6.9</div><div>RADAR</div></div><div><div>NESBT INT</div><div>I-TSE 13.2</div><div>RADAR</div></div></div><div><div><div>3000</div><div>↑</div><div>MEM R-360</div></div><div><div>LAURI INT</div><div>VGSI and ILS glidepath not coincident (VGSI Angle 3.00/TCH 71).</div></div><div><div><div>180°</div><div>↓</div></div><div><div>GINIE</div><div>I-TSE 6.9</div><div>RADAR</div></div><div><div>NESBT INT</div><div>I-TSE 13.2</div><div>RADAR</div></div></div><div><div><div>3000</div><div>↑</div><div>MEM R-360</div></div><div><div>LAURI INT</div><div>VGSI and ILS glidepath not coincident (VGSI Angle 3.00/TCH 71).</div></div><div><div><div>180°</div><div>↓</div></div><div><div>GINIE</div><div>I-TSE 6.9</div><div>RADAR</div></div><div><div>NESBT INT</div><div>I-TSE 13.2</div><div>RADAR</div></div></div><div><div><div>3000</div><div>↑</div><div>MEM R-360</div></div><div><div>LAURI INT</div><div>VGSI and ILS glidepath not coincident (VGSI Angle 3.00/TCH 71).</div></div><div><div><div>180°</div><div>↓</div></div><div><div>GINIE</div><div>I-TSE 6.9</div><div>RADAR</div></div><div><div>NESBT INT</div><div>I-TSE 13.2</div><div>RADAR</div></div></div><div><div><div>3000</div><div>↑</div><div>MEM R-360</div></div><div><div>LAURI INT</div><div>VGSI and ILS glidepath not coincident (VGSI Angle 3.00/TCH 71).</div></div><div><div><div>180°</div><div>↓</div></div><div><div>GINIE</div><div>I-TSE 6.9</div><div>RADAR</div></div><div><div>NESBT INT</div><div>I-TSE 13.2</div><div>RADAR</div></div></div><div><div><div>3000</div><div>↑</div><div>MEM R-360</div></div><div><div>LAURI INT</div><div>VGSI and ILS glidepath not coincident (VGSI Angle 3.00/TCH 71).</div></div><div><div><div>180°</div><div>↓</div></div><div><div>GINIE</div><div>I-TSE 6.9</div><div>RADAR</div></div><div><div>NESBT INT</div><div>I-TSE 13.2</div><div>RADAR</div></div></div><div><div><div>3000</div><div>↑</div><div>MEM R-360</div></div><div><div>LAURI INT</div><div>VGSI and ILS glidepath not coincident (VGSI Angle 3.00/TCH 71).</div></div><div><div><div>180°</div><div>↓</div></div><div><div>GINIE</div><div>I-TSE 6.9</div><div>RADAR</div></div><div><div>NESBT INT</div><div>I-TSE 13.2</div><div>RADAR</div></div></div><div><div><div>3000</div><div>↑</div><div>MEM R-360</div></div><div><div>LAURI INT</div><div>VGSI and ILS glidepath not coincident (VGSI Angle 3.00/TCH 71).</div></div><div><div><div>180°</div><div>↓</div></div><div><div>GINIE</div><div>I-TSE 6.9</div><div>RADAR</div></div><div><div>NESBT INT</div><div>I-TSE 13.2</div><div>RADAR</div></div></div><div><div><div>3000</div><div>↑</div><div>MEM R-360</div></div><div><div>LAURI INT</div><div>VGSI and ILS glidepath not coincident (VGSI Angle 3.00/TCH 71).</div></div><div><div><div>180°</div><div>↓</div></div><div><div>GINIE</div><div>I-TSE 6.9</div><div>RADAR</div></div><div><div>NESBT INT</div><div>I-TSE 13.2</div><div>RADAR</div></div></div><div><div><div>3000</div><div>↑</div><div>MEM R-360</div></div><div><div>LAURI INT</div><div>VGSI and ILS glidepath not coincident (VGSI Angle 3.00/TCH 71).</div></div><div><div><div>180°</div><div>↓</div></div><div><div>GINIE</div><div>I-TSE 6.9</div><div>RADAR</div></div><div><div>NESBT INT</div><div>I-TSE 13.2</div><div>RADAR</div></div></div><div><div><div>3000</div><div>↑</div><div>MEM R-360</div></div><div><div>LAURI INT</div><div>VGSI and ILS glidepath not coincident (VGSI Angle 3.00/TCH 71).</div></div><div><div><div>180°</div><div>↓</div></div><div><div>GINIE</div><div>I-TSE 6.9</div><div>RADAR</div></div><div><div>NESBT INT</div><div>I-TSE 13.2</div><div>RADAR</div></div></div><div><div><div>3000</div><div>↑</div><div>MEM R-360</div></div><div><div>LAURI INT</div><div>VGSI and ILS glidepath not coincident (VGSI Angle 3.00/TCH 71).</div></div><div><div><div>180°</div><div>↓</div></div><div><div>GINIE</div><div>I-TSE 6.9</div><div>RADAR</div></div><div><div>NESBT INT</div><div>I-TSE 13.2</div><div>RADAR</div></div></div><div><div><div>3000</div><div>↑</div><div>MEM R-360</div></div><div><div>LAURI INT</div><div>VGSI and ILS glidepath not coincident (VGSI Angle 3.00/TCH 71).</div></div><div><div><div>180°</div><div>↓</div></div><div><div>GINIE</div><div>I-TSE 6.9</div><div>RADAR</div></div><div><div>NESBT INT</div><div>I-TSE 13.2</div><div>RADAR</div></div></div><div><div><div>3000</div><div>↑</div><div>MEM R-360</div></div><div><div>LAURI INT</div><div>VGSI and ILS glidepath not coincident (VGSI Angle 3.00/TCH 71).</div></div><div><div><div>180°</div><div>↓</div></div><div><div>GINIE</div><div>I-TSE 6.9</div><div>RADAR</div></div><div><div>NESBT INT</div><div>I-TSE 13.2</div><div>RADAR</div></div></div><div><div><div>3000</div><div>↑</div><div>MEM R-360</div></div><div><div>LAURI INT</div><div>VGSI and ILS glidepath not coincident (VGSI Angle 3.00/TCH 71).</div></div><div><div><div>180°</div><div>↓</div></div><div><div>GINIE</div><div>I-TSE 6.9</div><div>RADAR</div></div><div><div>NESBT INT</div><div>I-TSE 13.2</div><div>RADAR</div></div></div><div><div><div>3000</div><div>↑</div><div>MEM R-360</div></div><div><div>LAURI INT</div><div>VGSI and ILS glidepath not coincident (VGSI Angle 3.00/TCH 71).</div></div><div><div><div>180°</div><div>↓</div></div><div><div>GINIE</div><div>I-TSE 6.9</div><div>RADAR</div></div><div><div>NESBT INT</div><div>I-TSE 13.2</div><div>RADAR</div></div></div><div><div><div>3000</div><div>↑</div><div>MEM R-360</div></div><div><div>LAURI INT</div><div>VGSI and ILS glidepath not coincident (VGSI Angle 3.00/TCH 71).</div></div><div><div><div>180°</div><div>↓</div></div><div><div>GINIE</div><div>I-TSE 6.9</div><div>RADAR</div></div><div><div>NESBT INT</div><div>I-TSE 13.2</div><div>RADAR</div></div></div><div><div><div>3000</div><div>↑</div><div>MEM R-360</div></div><div><div>LAURI INT</div><div>VGSI and ILS glidepath not coincident (VGSI Angle 3.00/TCH 71).</div></div><div><div><div>180°</div><div>↓</div></div><div><div>GINIE</div><div>I-TSE 6.9</div><div>RADAR</div></div><div><div>NESBT INT</div><div>I-TSE 13.2</div><div>RADAR</div></div></div><div><div><div>3000</div><div>↑</div><div>MEM R-360</div></div><div><div>LAURI INT</div><div>VGSI and ILS glidepath not coincident (VGSI Angle 3.00/TCH 71).</div></div><div><div><div>180°</div><div>↓</div></div><div><div>GINIE</div><div>I-TSE 6.9</div><div>RADAR</div></div><div><div>NESBT INT</div><div>I-TSE 13.2</div><div>RADAR</div></div></div><div><div><div>3000</div><div>↑</div><div>MEM R-360</div></div><div><div>LAURI INT</div><div>VGSI and ILS glidepath not coincident (VGSI Angle 3.00/TCH 71).</div></div><div><div><div>180°</div><div>↓</div></div><div><div>GINIE</div><div>I-TSE 6.9</div><div>RADAR</div></div><div><div>NESBT INT</div><div>I-TSE 13.2</div><div>RADAR</div></div></div><div><div><div>3000</div><div>↑</div><div>MEM R-360</div></div><div><div>LAURI INT</div><div>VGSI and ILS glidepath not coincident (VGSI Angle 3.00/TCH 71).</div></div><div><div><div>180°</div><div>↓</div></div><div><div>GINIE</div><div>I-TSE 6.9</div><div>RADAR</div></div><div><div>NESBT INT</div><div>I-TSE 13.2</div><div>RADAR</div></div></div><div><div><div>3000</div><div>↑</div><div>MEM R-360</div></div><div><div>LAURI INT</div><div>VGSI and ILS glidepath not coincident (VGSI Angle 3.00/TCH 71).</div></div><div><div><div>180°</div><div>↓</div></div><div><div>GINIE</div><div>I-TSE 6.9</div><div>RADAR</div></div><div><div>NESBT INT</div><div>I-TSE 13.2</div><div>RADAR</div></div></div><div><div><div>3000</div><div>↑</div><div>MEM R-360</div></div><div><div>LAURI INT</div><div>VGSI and ILS glidepath not coincident (VGSI Angle 3.00/TCH 71).</div></div><div><div><div>180°</div><div>↓</div></div><div><div>GINIE</div><div>I-TSE 6.9</div><div>RADAR</div></div><div><div>NESBT INT</div><div>I-TSE 13.2</div><div>RADAR</div></div></div><div><div><div>3000</div><div>↑</div><div>MEM R-360</div></div><div><div>LAURI INT</div><div>VGSI and ILS glidepath not coincident (VGSI Angle 3.00/TCH 71).</div></div><div><div><div>180°</div><div>↓</div></div><div><div>GINIE</div><div>I-TSE 6.9</div><div>RADAR</div></div><div><div>NESBT INT</div><div>I-TSE 13.2</div><div>RADAR</div></div></div><div><div><div>3000</div><div>↑</div><div>MEM R-360</div></div><div><div>LAURI INT</div><div>VGSI and ILS glidepath not coincident (VGSI Angle 3.00/TCH 71).</div></div><div><div><div>180°</div><div>↓</div></div><div><div>GINIE</div><div>I-TSE 6.9</div><div>RADAR</div></div><div><div>NESBT INT</div><div>I-TSE 13.2</div><div>RADAR</div></div></div><div><div><div>3000</div><div>↑</div><div>MEM R-360</div></div><div><div>LAURI INT</div><div>VGSI and ILS glidepath not coincident (VGSI Angle 3.00/TCH 71).</div></div><div><div><div>180°</div><div>↓</div></div><div><div>GINIE</div><div>I-TSE 6.9</div><div>RADAR</div></div><div><div>NESBT INT</div><div>I-TSE 13.2</div><div>RADAR</div></div></div><div><div><div>3000</div><div>↑</div><div>MEM R-360</div></div><div><div>LAURI INT</div><div>VGSI and ILS glidepath not coincident (VGSI Angle 3.00/TCH 71).</div></div><div><div><div>180°</div><div>↓</div></div><div><div>GINIE</div><div>I-TSE 6.9</div><div>RADAR</div></div><div><div>NESBT INT</div><div>I-TSE 13.2</div><div>RADAR</div></div></div><div><div><div>3000</div><div>↑</div><div>MEM R-360</div></div><div><div>LAURI INT</div><div>VGSI and ILS glidepath not coincident (VGSI Angle 3.00/TCH 71).</div></div><div><div><div>180°</div><div>↓</div></div><div><div>GINIE</div><div>I-TSE 6.9</div><div>RADAR</div></div><div><div>NESBT INT</div><div>I-TSE 13.2</div><div>RADAR</div></div></div><div><div><div>3000</div><div>↑</div><div>MEM R-360</div></div><div><div>LAURI INT</div><div>VGSI and ILS glidepath not coincident (VGSI Angle 3.00/TCH 71).</div></div><div><div><div>180°</div><div>↓</div></div><div><div>GINIE</div><div>I-TSE 6.9</div><div>RADAR</div></div><div><div>NESBT INT</div><div>I-TSE 13.2</div><div>RADAR</div></div></div><div><div><div>3000</div><div>↑</div><div>MEM R-360</div></div><div><div>LAURI INT</div><div>VGSI and ILS glidepath not coincident (VGSI Angle 3.00/TCH 71).</div></div><div><div><div>180°</div><div>↓</div></div><div><div>GINIE</div><div>I-TSE 6.9</div><div>RADAR</div></div><div><div>NESBT INT</div><div>I-TSE 13.2</div><div>RADAR</div></div></div><div><div><div>3000</div><div>↑</div><div>MEM R-360</div></div><div><div>LAURI INT</div><div>VGSI and ILS glidepath not coincident (VGSI Angle 3.00/TCH 71).</div></div><div><div><div>180°</div><div>↓</div></div><div><div>GINIE</div><div>I-TSE 6.9</div><div>RADAR</div></div><div><div>NESBT INT</div><div>I-TSE 13.2</div><div>RADAR</div></div></div><div><div><div>3000</div><div>↑</div><div>MEM R-360</div></div><div><div>LAURI INT</div><div>VGSI and ILS glidepath not coincident (VGSI Angle 3.00/TCH 71).</div></div><div><div><div>180°</div><div>↓</div></div><div><div>GINIE</div><div>I-TSE 6.9</div><div>RADAR</div></div><div><div>NESBT INT</div><div>I-TSE 13.2</div><div>RADAR</div></div></div><div><div><div>3000</div><div>↑</div><div>MEM R-360</div></div><div><div>LAURI INT</div><div>VGSI and ILS glidepath not coincident (VGSI Angle 3.00/TCH 71).</div></div><div><div><div>180°</div><div>↓</div></div><div><div>GINIE</div><div>I-TSE 6.9</div><div>RADAR</div></div><div><div>NESBT INT</div><div>I-TSE 13.2</div><div>RADAR</div></div></div><div><div><div>3000</div><div>↑</div><div>MEM R-360</div></div><div><div>LAURI INT</div><div>VGSI and ILS glidepath not coincident (VGSI Angle 3.00/TCH 71).</div></div><div><div><div>180°</div><div>↓</div></div><div><div>GINIE</div><div>I-TSE 6.9</div><div>RADAR</div></div><div><div>NESBT INT</div><div>I-TSE 13.2</div><div>RADAR</div></div></div><div><div><div>3000</div><div>↑</div><div>MEM R-360</div></div><div><div>LAURI INT</div><div>VGSI and ILS glidepath not coincident (VGSI Angle 3.00/TCH 71).</div></div><div><div><div>180°</div><div>↓</div></div><div><div>GINIE</div><div>I-TSE 6.9</div><div>RADAR</div></div><div><div>NESBT INT</div><div>I-TSE 13.2</div><div>RADAR</div></div></div><div><div><div>3000</div><div>↑</div><div>MEM R-360</div></div><div><div>LAURI INT</div><div>VGSI and ILS glidepath not coincident (VGSI Angle 3.00/TCH 71).</div></div><div><div><div>180°</div><div>↓</div></div><div><div>GINIE</div><div>I-TSE 6.9</div><div>RADAR</div></div><div><div>NESBT INT</div><div>I-TSE 13.2</div><div>RADAR</div></div></div><div><div><div>3000</div><div>↑</div><div>MEM R-360</div></div><div><div>LAURI INT</div><div>VGSI and ILS glidepath not coincident (VGSI Angle 3.00/TCH 71).</div></div><div><div><div>180°</div><div>↓</div></div><div><div>GINIE</div><div>I-TSE 6.9</div><div>RADAR</div></div><div><div>NESBT INT</div><div>I-TSE 13.2</div><div>RADAR</div></div></div><div><div><div>3000</div><div>↑</div><div>MEM R-360</div></div><div><div>LAURI INT</div><div>VGSI and ILS glidepath not coincident (VGSI Angle 3.00/TCH 71).</div></div><div><div><div>180°</div><div>↓</div></div><div><div>GINIE</div><div>I-TSE 6.9</div><div>RADAR</div></div><div><div>NESBT INT</div><div>I-TSE 13.2</div><div>RADAR</div></div></div><div><div><div>3000</div><div>↑</div><div>MEM R-360</div></div><div><div>LAURI INT</div><div>VGSI and ILS glidepath not coincident (VGSI Angle 3.00/TCH 71).</div></div><div><div><div>180°</div><div>↓</div></div><div><div>GINIE</div><div>I-TSE 6.9</div><div>RADAR</div></div><div><div>NESBT INT</div><div>I-TSE 13.2</div><div>RADAR</div></div></div><div><div><div>3000</div><div>↑</div><div>MEM R-360</div></div><div><div>LAURI INT</div><div>VGSI and ILS glidepath not coincident (VGSI Angle 3.00/TCH 71).</div></div><div><div><div>180°</div><div>↓</div></div><div><div>GINIE</div><div>I-TSE 6.9</div><div>RADAR</div></div><div><div>NESBT INT</div><div>I-TSE 13.2</div><div>RADAR</div></div></div><div><div><div>3000</div><div>↑</div><div>MEM R-360</div></div><div><div>LAURI INT</div><div>VGSI and ILS glidepath not coincident (VGSI Angle 3.00/TCH 71).</div></div><div><div><div>180°</div><div>↓</div></div><div><div>GINIE</div><div>I-TSE 6.9</div><div>RADAR</div></div><div><div>NESBT INT</div><div>I-TSE 13.2</div><div>RADAR</div></div></div><div><div><div>3000</div><div>↑</div><div>MEM R-360</div></div><div><div>LAURI INT</div><div>VGSI and ILS glidepath not coincident (VGSI Angle 3.00/TCH 71).</div></div><div><div><div>180°</div><div>↓</div></div><div><div>GINIE</div><div>I-TSE 6.9</div><div>RADAR</div></div><div><div>NESBT INT</div><div>I-TSE 13.2</div><div>RADAR</div></div></div><div><div><div>3000</div><div>↑</div><div>MEM R-360</div></div><div><div>LAURI INT</div><div>VGSI and ILS glidepath not coincident (VGSI Angle 3.00/TCH 71).</div></div><div><div><div>180°</div><div>↓</div></div><div><div>GINIE</div><div>I-TSE 6.9</div><div>RADAR</div></div><div><div>NESBT INT</div><div>I-TSE 13.2</div><div>RADAR</div></div></div><div><div><div>3000</div><div>↑</div><div>MEM R-360</div></div><div><div>LAURI INT</div><div>VGSI and ILS glidepath not coincident (VGSI Angle 3.00/TCH 71).</div></div><div><div><div>180°</div><div>↓</div></div><div><div>GINIE</div><div>I-TSE 6.9</div><div>RADAR</div></div><div><div>NESBT INT</div><div>I-TSE 13.2</div><div>RADAR</div></div></div><div><div><div>3000</div><div>↑</div><div>MEM R-360</div></div><div><div>LAURI INT</div><div>VGSI and ILS glidepath not coincident (VGSI Angle 3.00/TCH 71).</div></div><div><div><div>180°</div><div>↓</div></div><div><div>GINIE</div><div>I-TSE 6.9</div><div>RADAR</div></div><div><div>NESBT INT</div><div>I-TSE 13.2</div><div>RADAR</div></div></div><div><div><div>3000</div><div>↑</div><div>MEM R-360</div></div><div><div>LAURI INT</div><div>VGSI and ILS glidepath not coincident (VGSI Angle 3.00/TCH 71).</div></div><div><div><div>180°</div><div>↓</div></div><div><div>GINIE</div><div>I-TSE 6.9</div><div>RADAR</div></div><div><div>NESBT INT</div><div>I-TSE 13.2</div><div>RADAR</div></div></div><div><div><div>3000</div><div>↑</div><div>MEM R-360</div></div><div><div>LAURI INT</div><div>VGSI and ILS glidepath not coincident (VGSI Angle 3.00/TCH 71).</div></div><div><div><div>180°</div><div>↓</div></div><div><div>GINIE</div><div>I-TSE 6.9</div><div>RADAR</div></div><div><div>NESBT INT</div><div>I-TSE 13.2</div><div>RADAR</div></div></div><div><div><div>3000</div><div>↑</div><div>MEM R-360</div></div><div><div>LAURI INT</div><div>VGSI and ILS glidepath not coincident (VGSI Angle 3.00/TCH 71).</div></div><div><div><div>180°</div><div>↓</div></div><div><div>GINIE</div><div>I-TSE 6.9</div><div>RADAR</div></div><div><div>NESBT INT</div><div>I-TSE 13.2</div><div>RADAR</div></div></div><div><div><div>3000</div><div>↑</div><div>MEM R-360</div></div><div><div>LAURI INT</div><div>VGSI and ILS glidepath not coincident (VGSI Angle 3.00/TCH 71).</div></div><div><div><div>180°</div><div>↓</div></div><div><div>GINIE</div><div>I-TSE 6.9</div><div>RADAR</div></div><div><div>NESBT INT</div><div>I-TSE 13.2</div><div>RADAR</div></div></div><div><div><div>3000</div><div>↑</div><div>MEM R-360</div></div><div><div>LAURI INT</div><div>VGSI and ILS glidepath not coincident (VGSI Angle 3.00/TCH 71).</div></div><div><div><div>180°</div><div>↓</div></div><div><div>GINIE</div><div>I-TSE 6.9</div><div>RADAR</div></div><div><div>NESBT INT</div><div>I-TSE 13.2</div><div>RADAR</div></div></div><div><div><div>3000</div><div>↑</div><div>MEM R-360</div></div><div><div>LAURI INT</div><div>VGSI and ILS glidepath not coincident (VGSI Angle 3.00/TCH 71).</div></div><div><div><div>180°</div><div>↓</div></div><div><div>GINIE</div><div>I-TSE 6.9</div><div>RADAR</div></div><div><div>NESBT INT</div><div>I-TSE 13.2</div><div>RADAR</div></div></div><div><div><div>3000</div><div>↑</div><div>MEM R-360</div></div><div><div>LAURI INT</div><div>VGSI and ILS glidepath not coincident (VGSI Angle 3.00/TCH 71).</div></div><div><div><div>180°</div><div>↓</div></div><div><div>GINIE</div><div>I-TSE 6.9</div><div>RADAR</div></div><div><div>NESBT INT</div><div>I-TSE 13.2</div><div>RADAR</div></div></div><div><div><div>3000</div><div>↑</div><div>MEM R-360</div></div><div><div>LAURI INT</div><div>VGSI and ILS glidepath not coincident (VGSI Angle 3.00/TCH 71).</div></div><div><div><div>180°</div><div>↓</div></div><div><div>GINIE</div><div>I-TSE 6.9</div><div>RADAR</div></div><div><div>NESBT INT</div><div>I-TSE 13.2</div><div>RADAR</div></div></div><div><div><div>3000</div><div>↑</div><div>MEM R-360</div></div><div><div>LAURI INT</div><div>VGSI and ILS glidepath not coincident (VGSI Angle 3.00/TCH 71).</div></div><div><div><div>180°</div><div>↓</div></div><div><div>GINIE</div><div>I-TSE 6.9</div><div>RADAR</div></div><div><div>NESBT INT</div><div>I-TSE 13.2</div><div>RADAR</div></div></div><div><div><div>3000</div><div>↑</div><div>MEM R-360</div></div><div><div>LAURI INT</div><div>VGSI and ILS glidepath not coincident (VGSI Angle 3.00/TCH 71).</div></div><div><div><div>180°</div><div>↓</div></div><div><div>GINIE</div><div>I-TSE 6.9</div><div>RADAR</div></div><div><div>NESBT INT</div><div>I-TSE 13.2</div><div>RADAR</div></div></div><div><div><div>3000</div><div>↑</div><div>MEM R-360</div></div><div><div>LAURI INT</div><div>VGSI and ILS glidepath not coincident (VGSI Angle 3.00/TCH 71).</div></div><div><div><div>180°</div><div>↓</div></div><div><div>GINIE</div><div>I-TSE 6.9</div><div>RADAR</div></div><div><div>NESBT INT</div><div>I-TSE 13.2</div><div>RADAR</div></div></div><div><div><div>3000</div><div>↑</div><div>MEM R-360</div></div><div><div>LAURI INT</div><div>VGSI and ILS glidepath not coincident (VGSI Angle 3.00/TCH 71).</div></div><div><div><div>180°</div><div>↓</div></div><div><div>GINIE</div><div>I-TSE 6.9</div><div>RADAR</div></div><div><div>NESBT INT</div><div>I-TSE 13.2</div><div>RADAR</div></div></div><div><div><div>3000</div><div>↑</div><div>MEM R-360</div></div><div><div>LAURI INT</div><div>VGSI and ILS glidepath not coincident (VGSI Angle 3.00/TCH 71).</div></div><div><div><div>180°</div><div>↓</div></div><div><div>GINIE</div><div>I-TSE 6.9</div><div>RADAR</div></div><div><div>NESBT INT</div><div>I-TSE 13.2</div><div>RADAR</div></div></div><div><div><div>3000</div><div>↑</div><div>MEM R-360</div></div><div><div>LAURI INT</div><div>VGSI and ILS glidepath not coincident (VGSI Angle 3.00/TCH 71).</div></div><div><div><div>180°</div><div>↓</div></div><div><div>GINIE</div><div>I-TSE 6.9</div><div>RADAR</div></div><div><div>NESBT INT</div><div>I-TSE 13.2</div><div>RADAR</div></div></div><div><div><div>3000</div><div>↑</div><div>MEM R-360</div></div><div><div>LAURI INT</div><div>VGSI and ILS glidepath not coincident (VGSI Angle 3.00/TCH 71).</div></div><div><div><div>180°</div><div>↓</div></div><div><div>GINIE</div><div>I-TSE 6.9</div><div>RADAR</div></div><div><div>NESBT INT</div><div>I-TSE 13.2</div><div>RADAR</div></div></div><div><div><div>3000</div><div>↑</div><div>MEM R-360</div></div><div><div>LAURI INT</div><div>VGSI and ILS glidepath not coincident (VGSI Angle 3.00/TCH 71).</div></div><div><div><div>180°</div><div>↓</div></div><div><div>GINIE</div><div>I-TSE 6.9</div><div>RADAR</div></div><div><div>NESBT INT</div><div>I-TSE 13.2</div><div>RADAR</div></div></div><div><div><div>3000</div><div>↑</div><div>MEM R-360</div></div><div><div>LAURI INT</div><div>VGSI and ILS glidepath not coincident (VGSI Angle 3.00/TCH 71).</div></div><div><div><div>180°</div><div>↓</div></div><div><div>GINIE</div><div>I-TSE 6.9</div><div>RADAR</div></div><div><div>NESBT INT</div><div>I-TSE 13.2</div><div>RADAR</div></div></div><div><div><div>3000</div><div>↑</div><div>MEM R-360</div></div><div><div>LAURI INT</div><div>VGSI and ILS glidepath not coincident (VGSI Angle 3.00/TCH 71).</div></div><div><div><div>180°</div><div>↓</div></div><div><div>GINIE</div><div>I-TSE 6.9</div><div>RADAR</div></div><div><div>NESBT INT</div><div>I-TSE 13.2</div><div>RADAR</div></div></div><div><div><div>3000</div><div>↑</div><div>MEM R-360</div></div></div></div></div></div></div></div></div></div></div></div></div></div></div></div></div></div></div></div></div></div></div></div></div></div></div></div></div></div></div></div></div></div></div></div></div></div></div></div></div></div></div></div></div></div></div></div></div></div></div></div></div></div></div></div></div></div></div></div></div></div></div></div></div></div></div></div></div></div></div></div></div></div></div></div></div></div></div></div>					

SE-1, 03 DEC 2020 to 31 DEC 2020

SE-1, 03 DEC 2020 to 31 DEC 2020